TALLER METRICE 2010

"Mejorar la eficiencia en el uso de insumos y el ajuste fenológico en cultivos de trigo y cebada"

Universidad de la República, Paysandú, Uruguay







FISIOLOGÍA DE LA GENERACIÓN DEL RENDIMIENTO AFECTADA POR ENFERMEDADES FÚNGICAS FOLIARES





Introducción





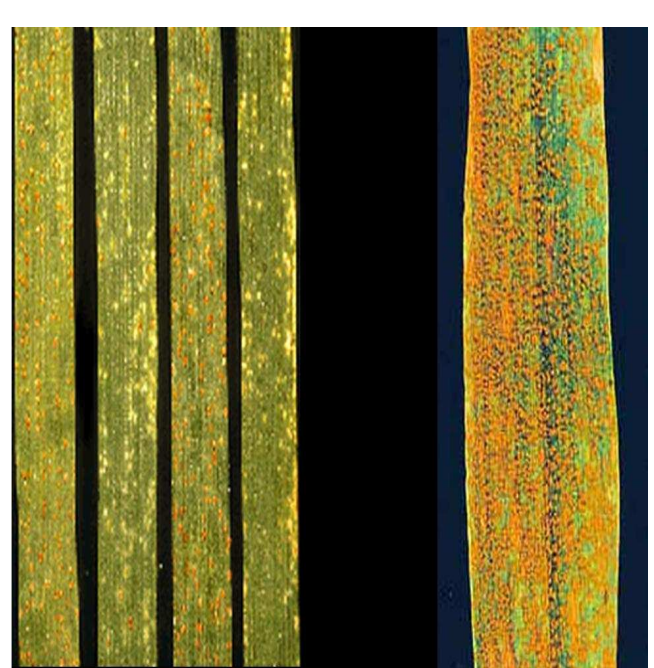
Las enfermedades foliares son las principales restricciones bióticas que reducen los rendimientos de trigo en Argentina.

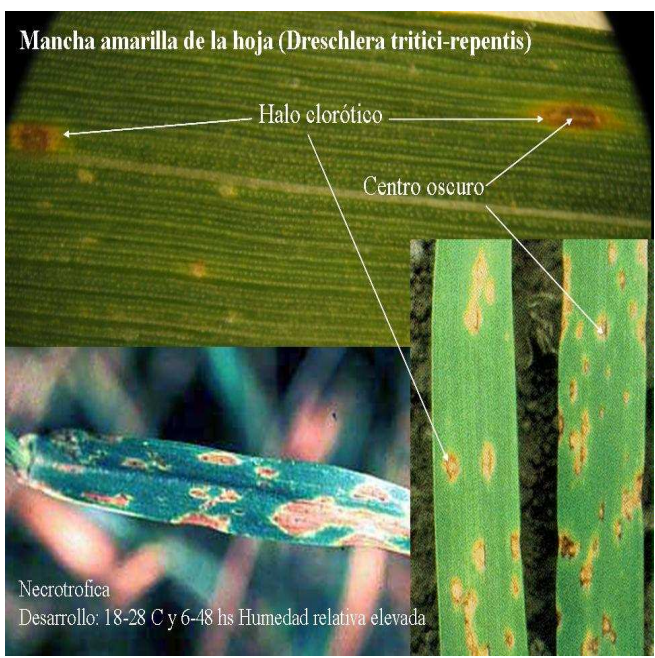
Por su frecuencia de aparición y los niveles de incidencia y severidad, las mas importantes son:

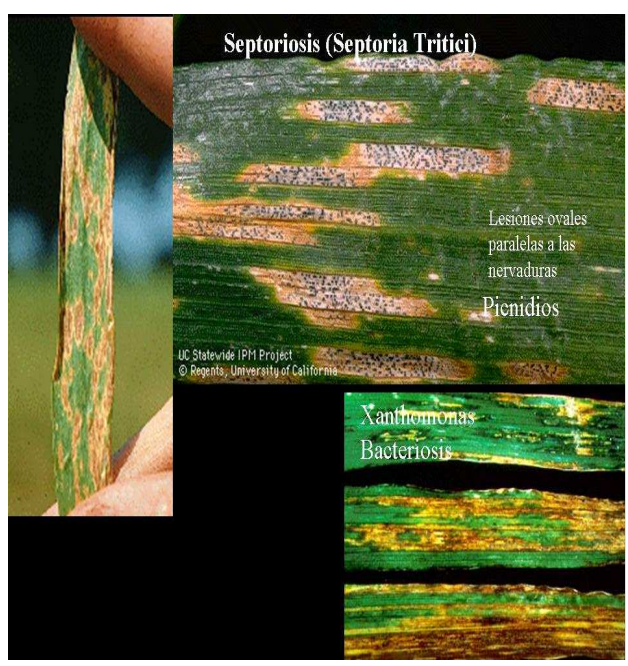
"Roya de la hoja"

"Mancha amarilla"

"Septoriosis"





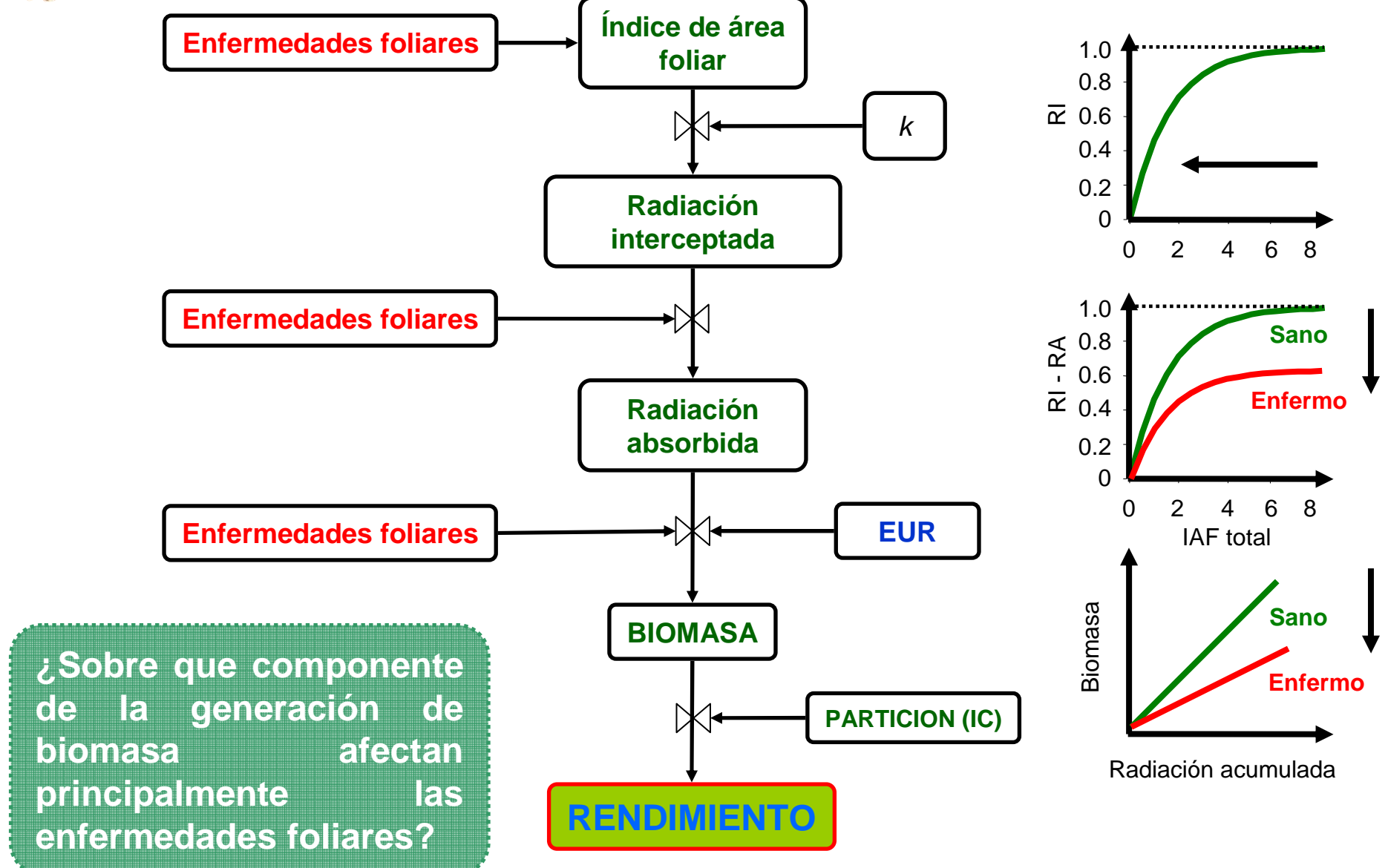




Introducción









Introducción





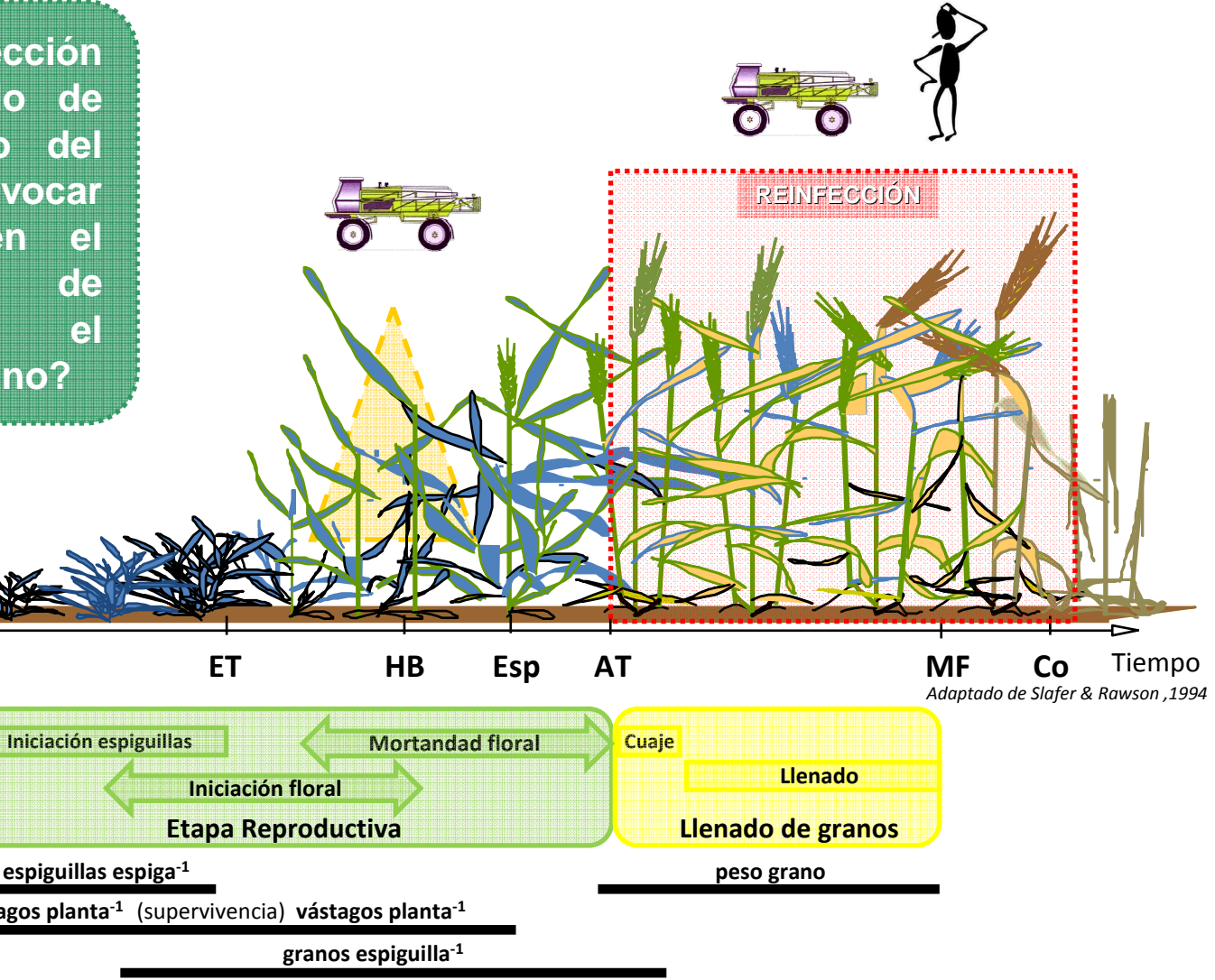
¿Una re-infección durante el periodo de activo crecimiento del podría provocar grano limitación en el una suministro de asimilados para crecimiento del grano?

Em

plantas m⁻²

Iniciación foliar

Etapa Vegetativa



espiguillas espiga-1 vástagos planta⁻¹ (supervivencia) vástagos planta⁻¹

granos m⁻²

RENDIMIENTO



Crops Resea

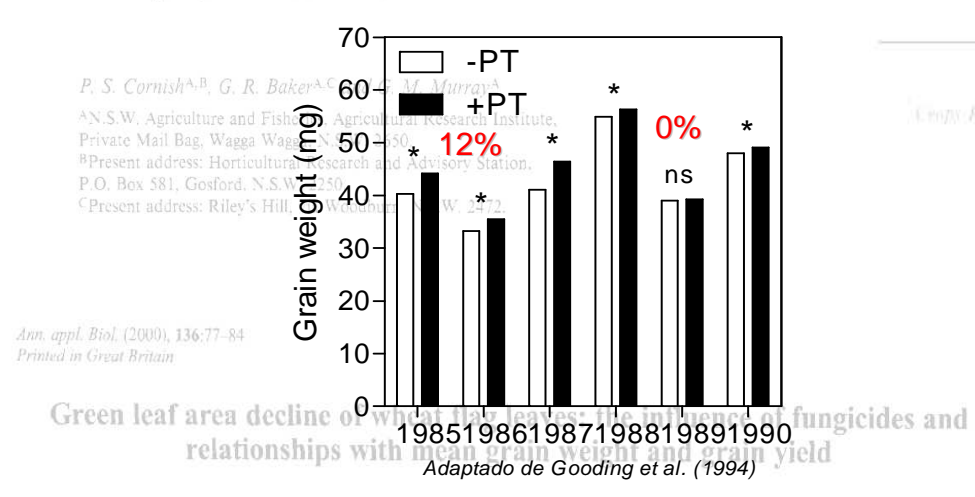
Introducción





Numerosos autores (Cornish et al., 1990; Dimmock et al., 2002; Gooding et al, 2002; Pepler et al., 2006) han mostrado una amplia variabilidad en la respuesta del PG a las enfermedades foliares (0 – 25 %).

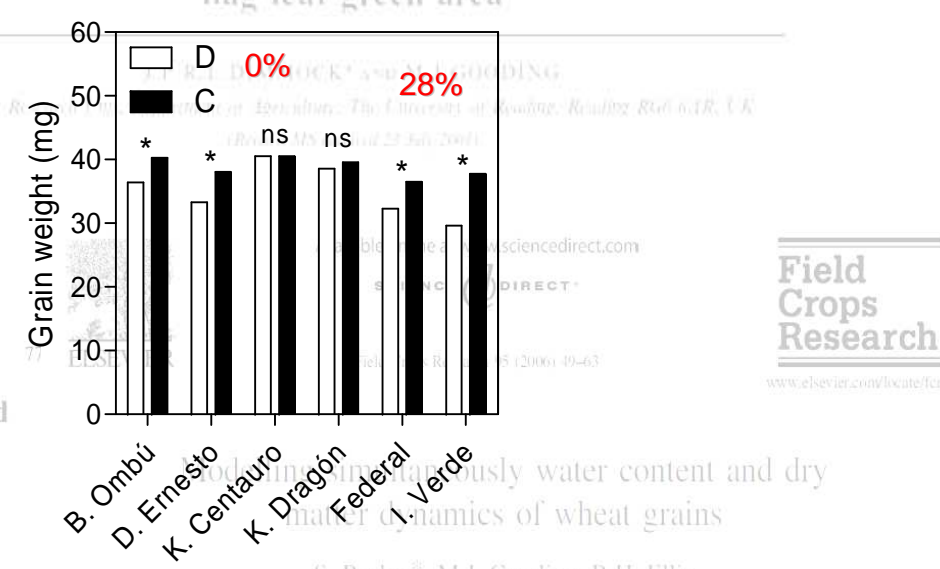
to Infection with Mycosphaerella graminicola Causing Septoria tritici Blotch



By M J GOODING*, J P R E DIMMOCK, J FRANCE and S A JONES

¿Qué factor/es podrían estar involucrados en la variabilidad de respuesta en el peso de grano? filling in winter wheat in relation to maintenance of

flag leaf green area



Adaptado de Simón et al. (2002) J. Gooding, R.H. Ellis

Crops Research Unit, Department of Agriculture, The University of Resuling, Earley Gate, PO Box 237, Reading RGo 6AR, UK

Received 10 September 2004; received in revised form 1 February 2005; accepted 1 February 2005



Objetivos





Explorar cual/es atributos de la generación de biomasa (RI-EUR) son afectados principalmente por enfermedades foliares.

Determinar a que factor/es del cultivo podría estar asociada la variabilidad encontrada en las respuestas del PG a la presencia de enfermedades foliares.

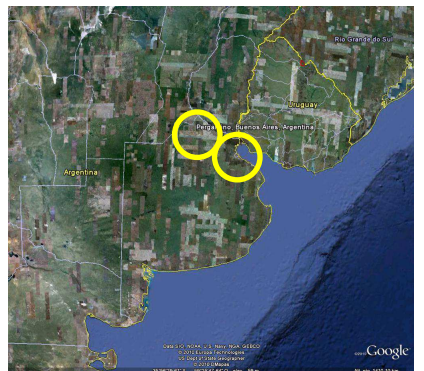
Determinar si las reducciones en el PG por enfermedades foliares son producto de disminuciones en el PG potencial o si estan asociadas a limitaciones en el suministro de asimilados para el crecimiento de los granos.



Materiales y Métodos









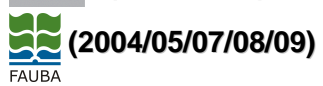


GRIGNON (2004-2005)

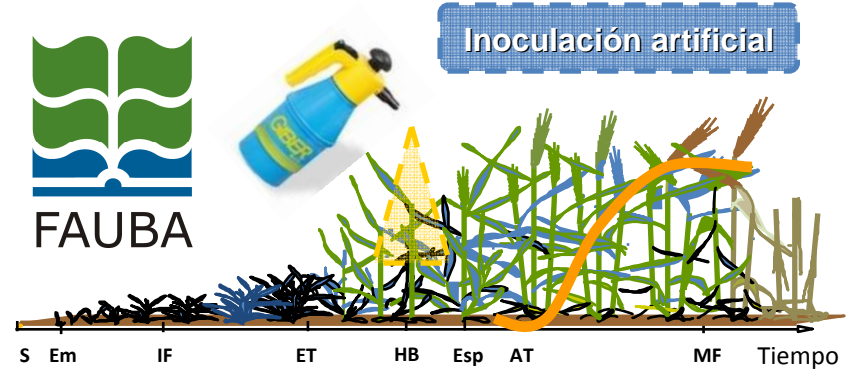


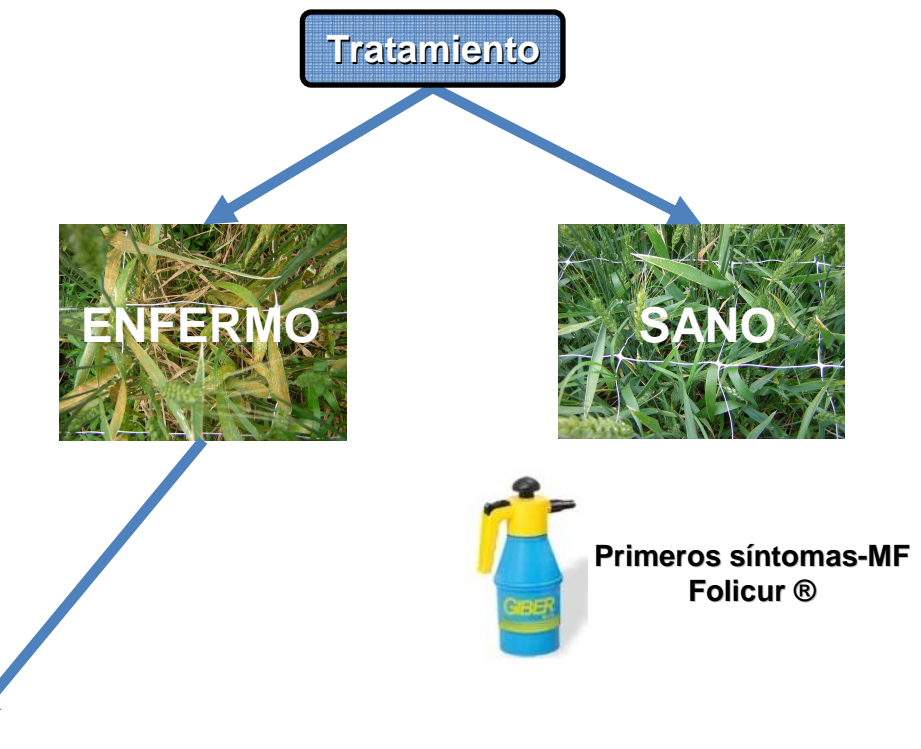












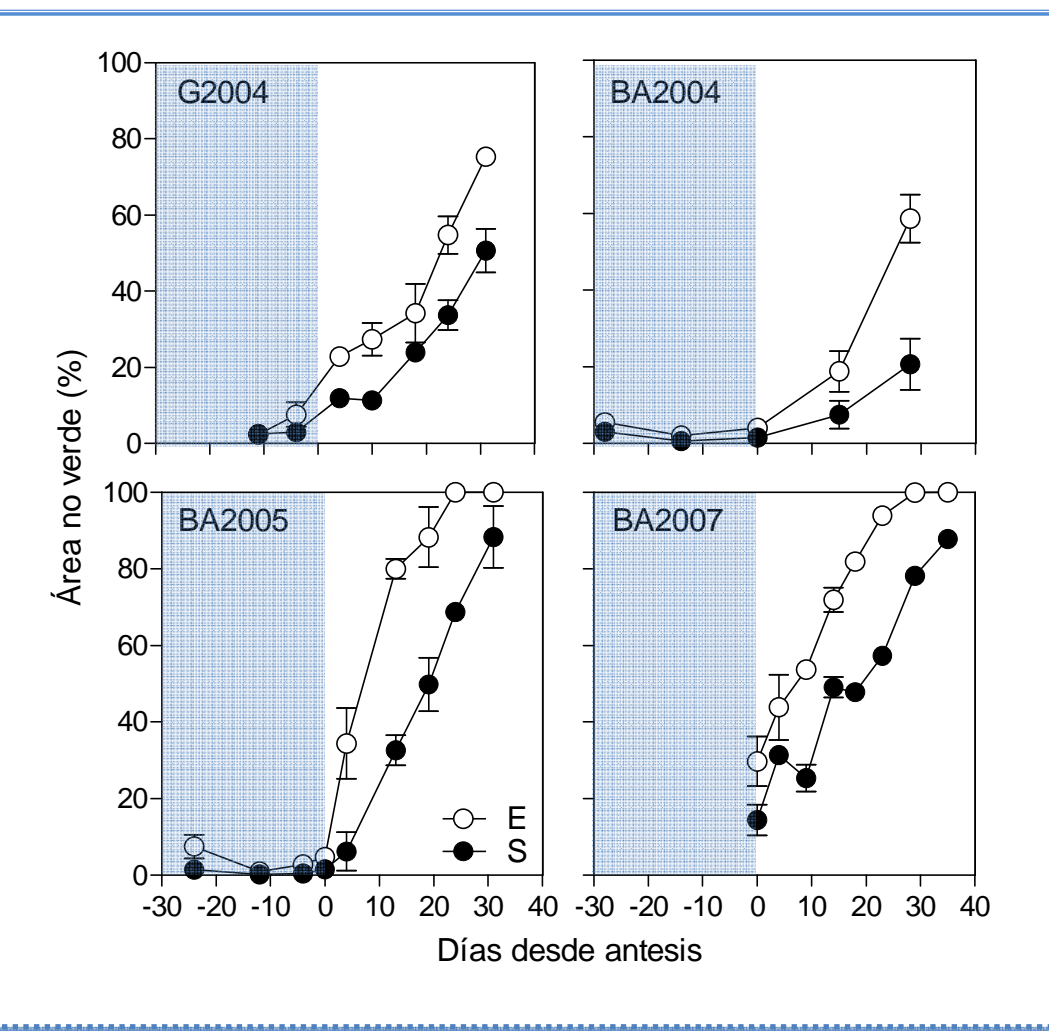




Resultados. Evolución de las enfermedades en el cultivo







El complejo de enfermedades foliares aparecieron en el cultivo durante el período de llenado de granos. La severidad fue muy baja durante el período crítico.

Resultados. Captura de radiación





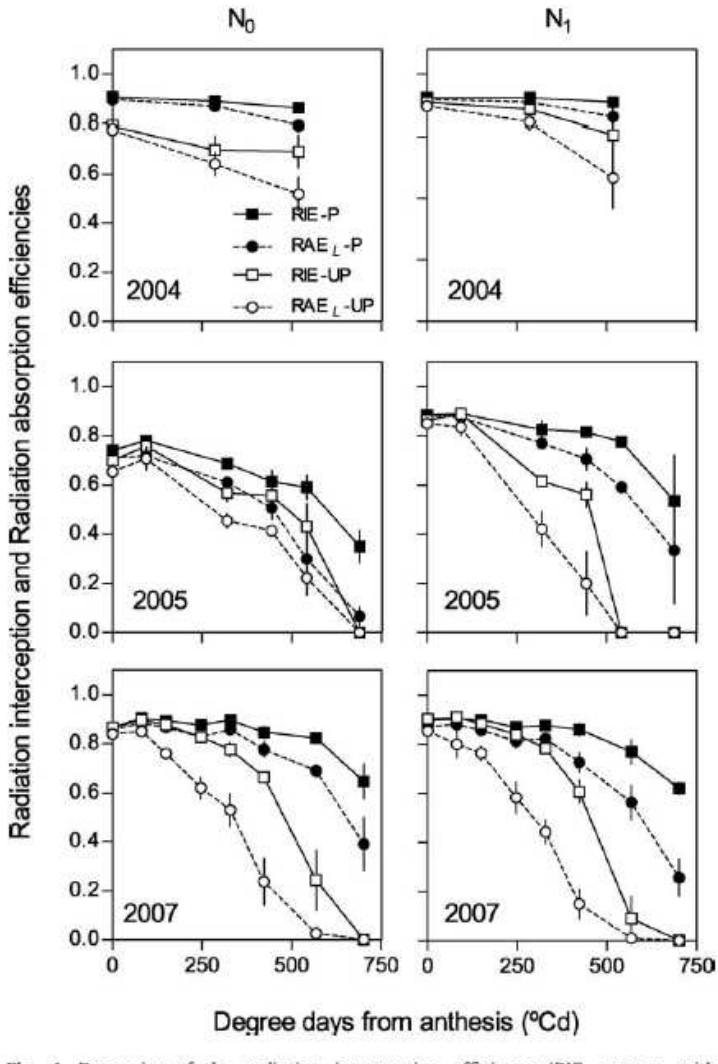


Fig. 4. Dynamics of the radiation interception efficiency (RIE, squares with continued lines) and radiation absorption efficiency calculated by leaf layer model (RAE $_{L}$, circles with dotted lines) during the grain filling period for P(solid symbols) and UP (open symbols) treatments and both nitrogen situations (N $_{0}$ and N $_{1}$), in three years (2004, 2005 and 2007). Vertical bars indicate standard error.

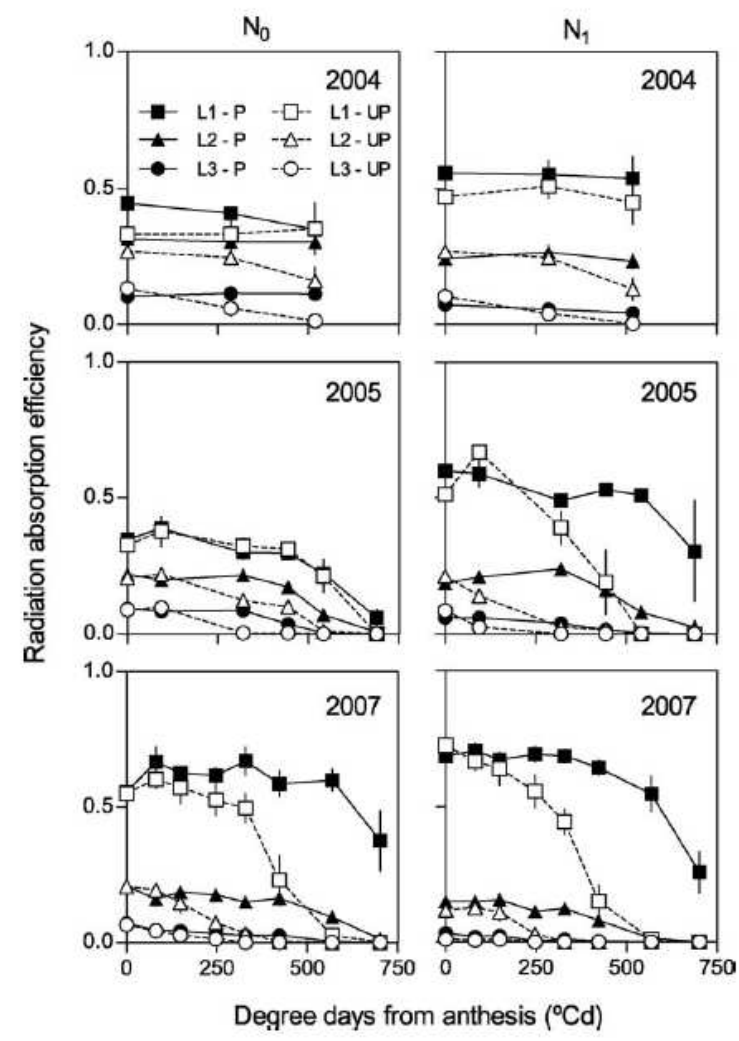
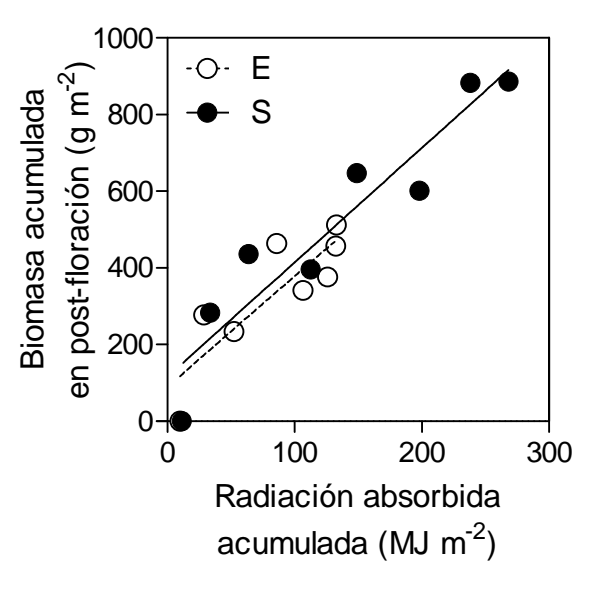


Fig. 6. Dynamics of the radiation absorption efficiency (RAE_L) for different leaf layers during the grain filling period for P (solid symbols) and UP (open symbols) treatments and the two nitrogen situations (N_0 and N_1), in three years (2004, 2005 and 2007). L1 (flag leaf), L2 and L3 are represented as squares, triangles and circles, respectively. Vertical bars indicate standard error.

Resultados. Eficiencia de uso de la radiación







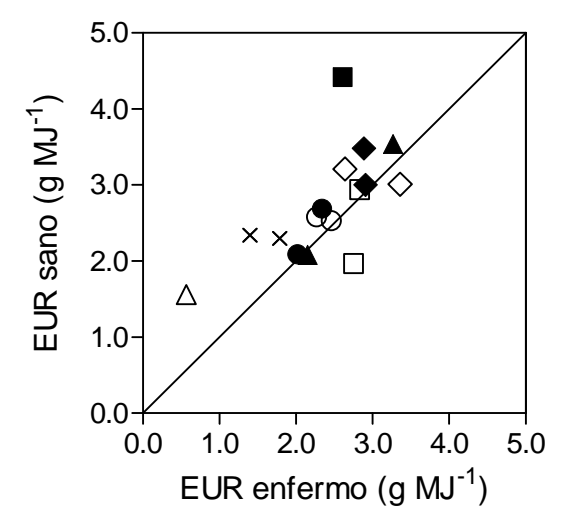


Table 3

Healthy area absorption (HAA) and radiation use efficiency calculated from accumulated intercepted radiation (RUE_{int}) and from accumulated absorbed radiation values (RUE_{abs}) for unprotected (UP) and protected (P) treatments. For details of the experiments and nitrogen rates associated to the codes see Table 1.

| Experiment code | Nitrogen | HAA (MJ m ⁻²) ^a | | RUE _{int} (g MJ ⁻¹) ^b | |
|-----------------|----------------|--|----------|---|--------|
| | | UP | P | UP | P |
| A2002 | N ₁ | 49.3 b | 73.1 a | 0.57 a | 1.56 a |
| BA2004 | N ₀ | 165.1 b | 216.4 a | 3.59 a | 2.35 a |
| | N_1 | 169.2 b | 192.3 ab | 3.53 a | 3.80 a |
| G2004SO | N ₀ | 261.4 b | 346.3 ab | 2.23 a | 2.39 a |
| | N ₁ | 291.3 ab | 375.5 a | 2.28 a | 2.28 a |
| G2004IS | N ₀ | 290.8 a | 323.3 a | 1.94 a | 1.96 a |
| | N ₁ | 322.0 a | 385.4 a | 2.16 a | 2.49 a |
| P2005E | N ₀ | 132.2 a | 156.6 a | 2.91 a | 3.00 a |
| | N ₁ | 145.2 a | 170.1 a | 2.89 a | 3.52 a |
| P2005L | No | 153.8 c | 204.7 Ь | 3.36 a | 3.01 a |
| | N ₁ | 171.0 bc | 252.6 a | 2.64 a | 3.15 a |
| BA2005 | N ₀ | 170.8 b | 190.4 b | 2.21 a | 2.19 a |
| | N ₁ | 149.1 ь | 243.4 a | 2.93 a | 3.49 a |
| BA2007 | N ₀ | 150.7 Ь | 291.7 a | 1.79 a | 2.17 a |
| | N ₁ | 132.8 b | 268.2 a | 1.40 a | 2.24 a |

Las enfermedades foliares no afectaron la EUR a nivel de canopeo.

Different letters indicate significant differences (p < 0.05) for the interaction nitrogen x fungicide treatments within each experiment.</p>

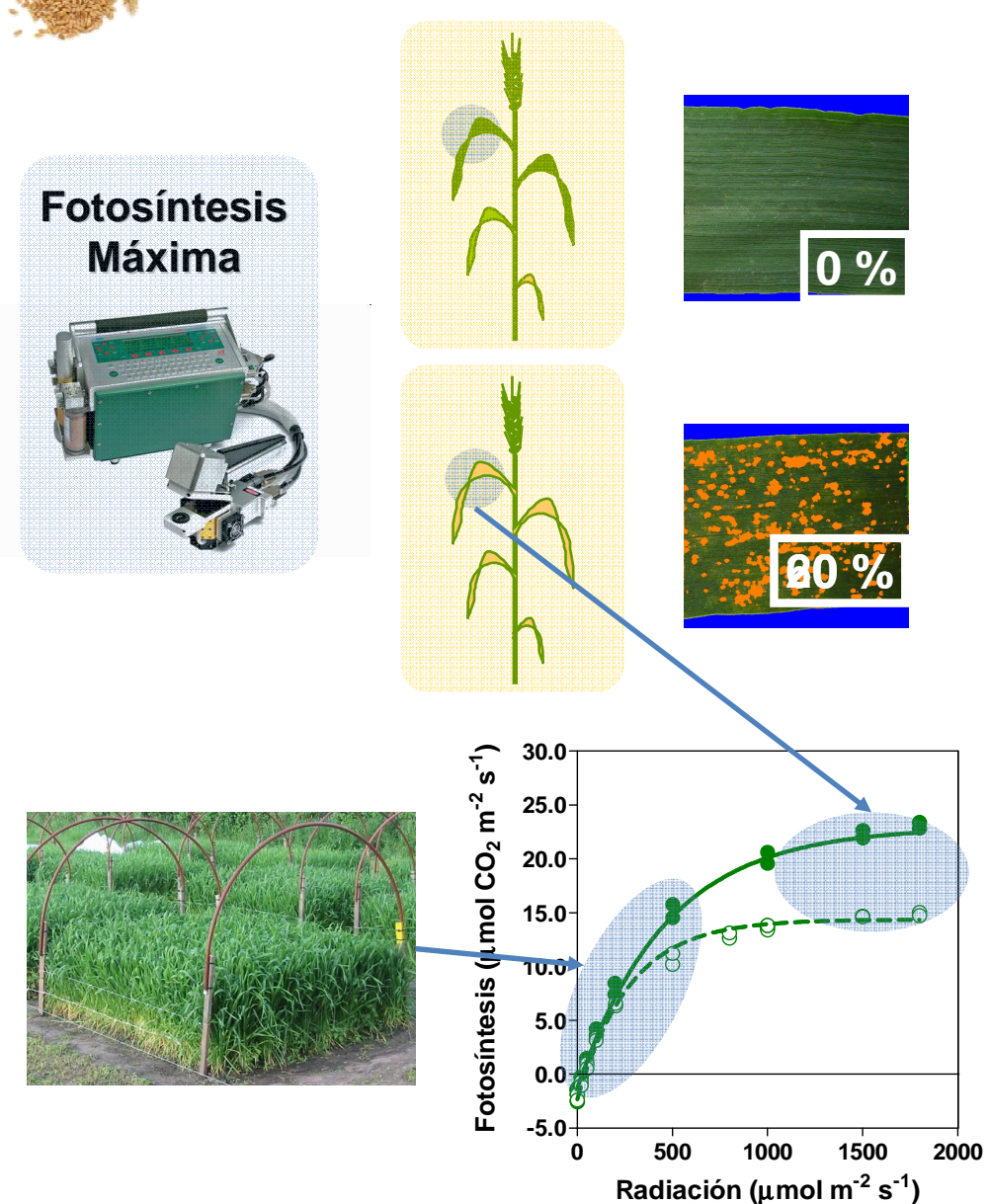
Different letters indicate significant differences (p < 0.05) for the fungicide treatments within each experiment and nitrogen treatment.</p>

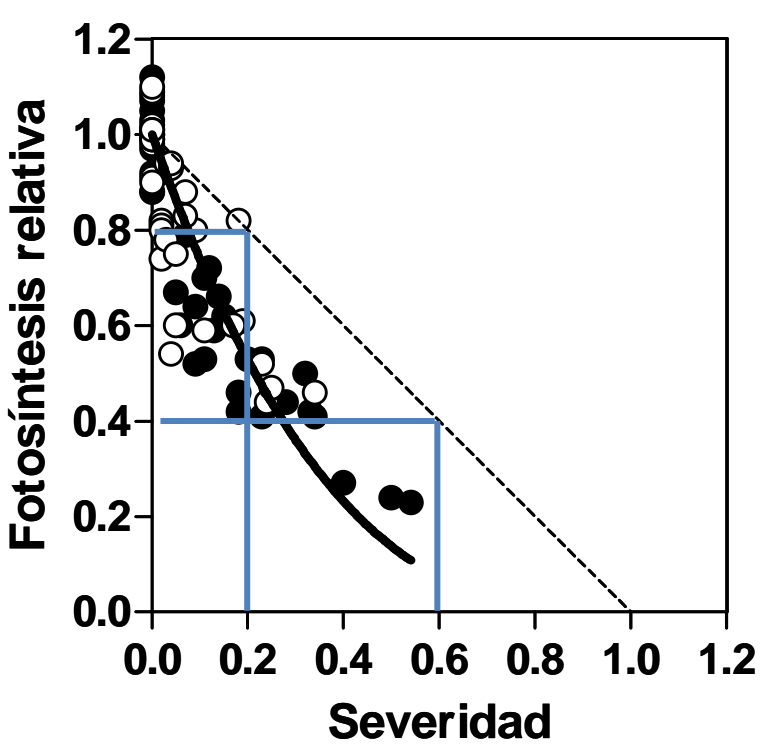












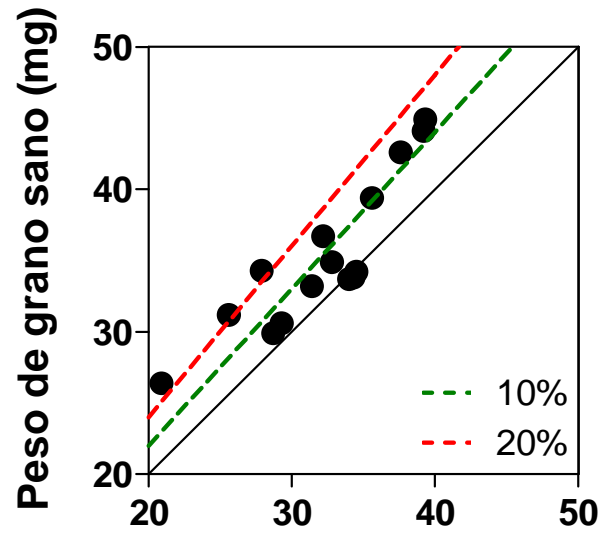
¿Por qué las enfermedades foliares afectan la fotosíntesis máxima de la hoja bandera pero no la EUR a nivel de canopeo?



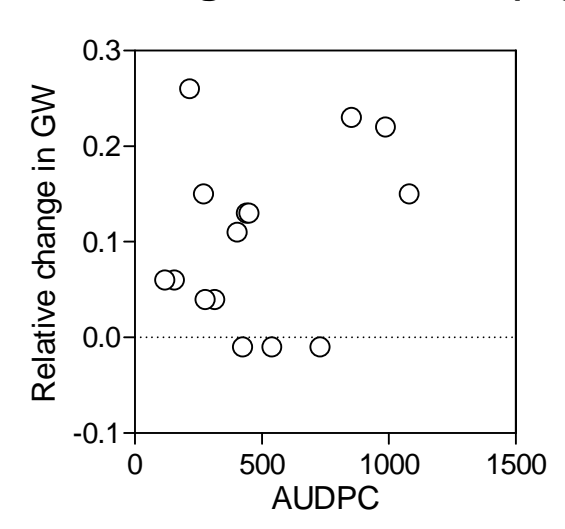


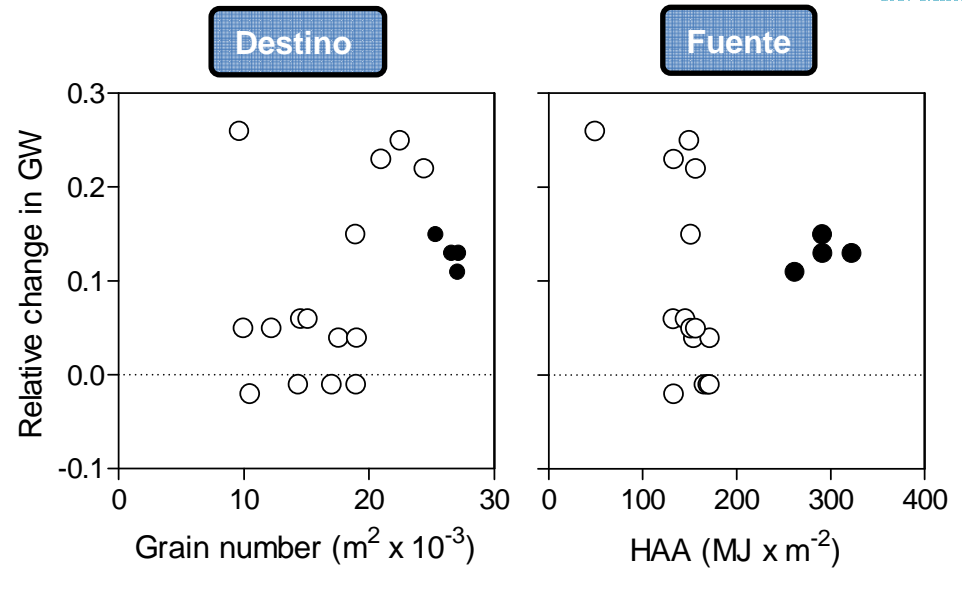


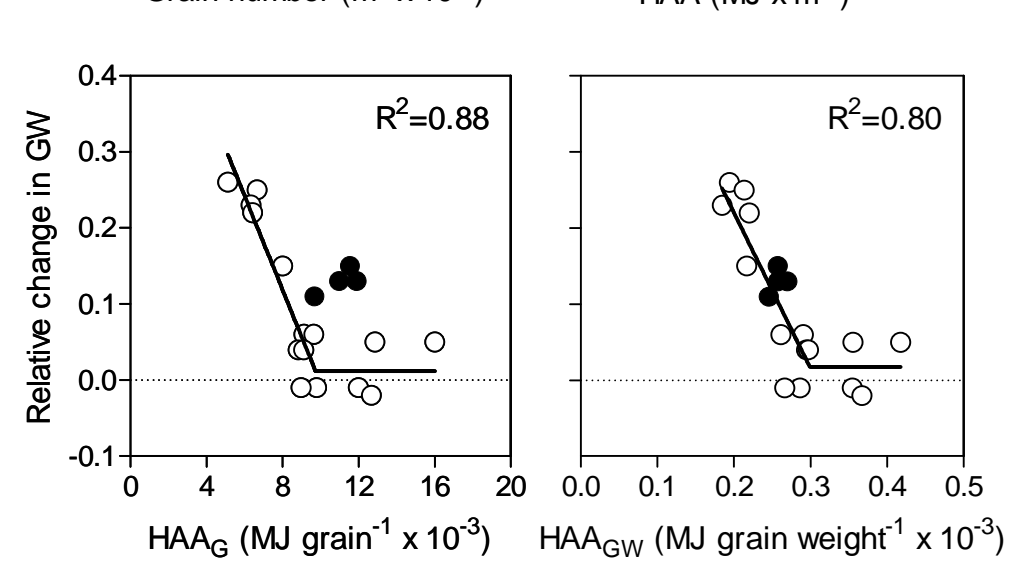




Peso de grano enfermo (mg)









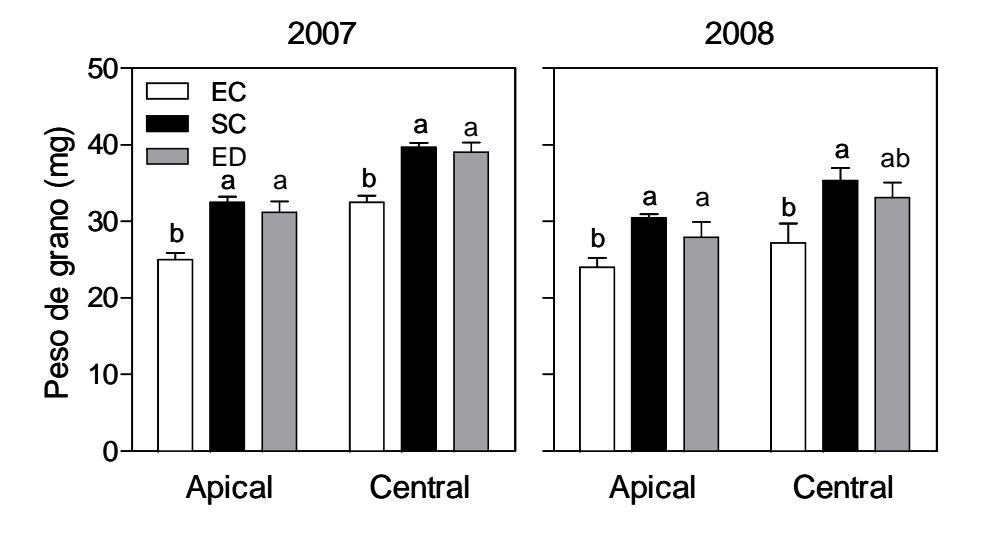
Resultados. Crecimiento del grano



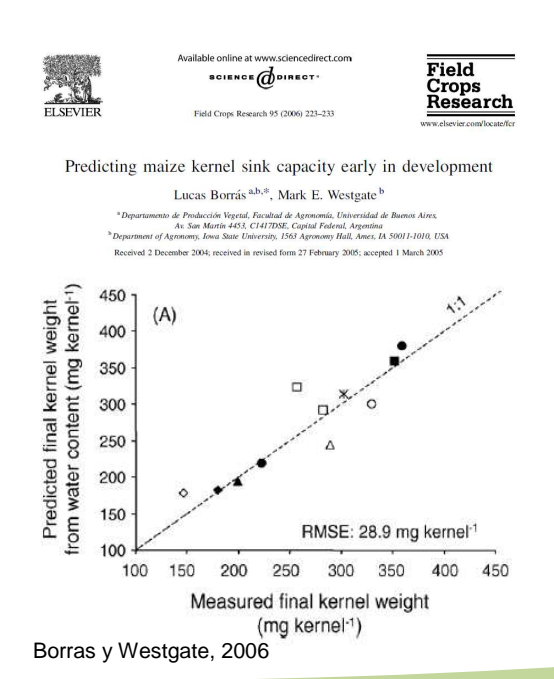


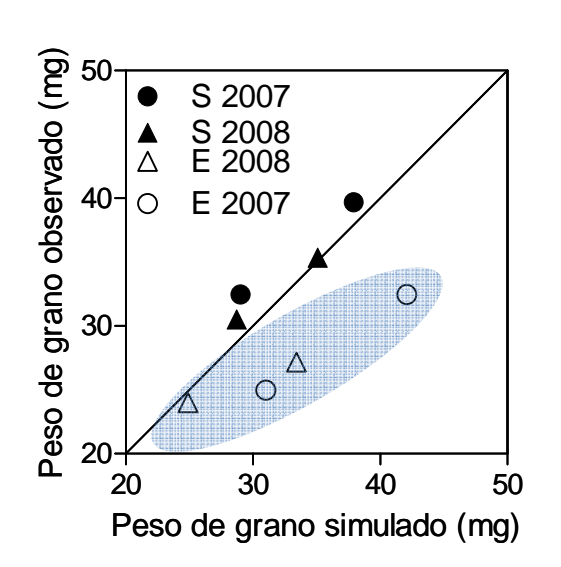
FUENTE-DESTINO





MODELO HÍDRICO







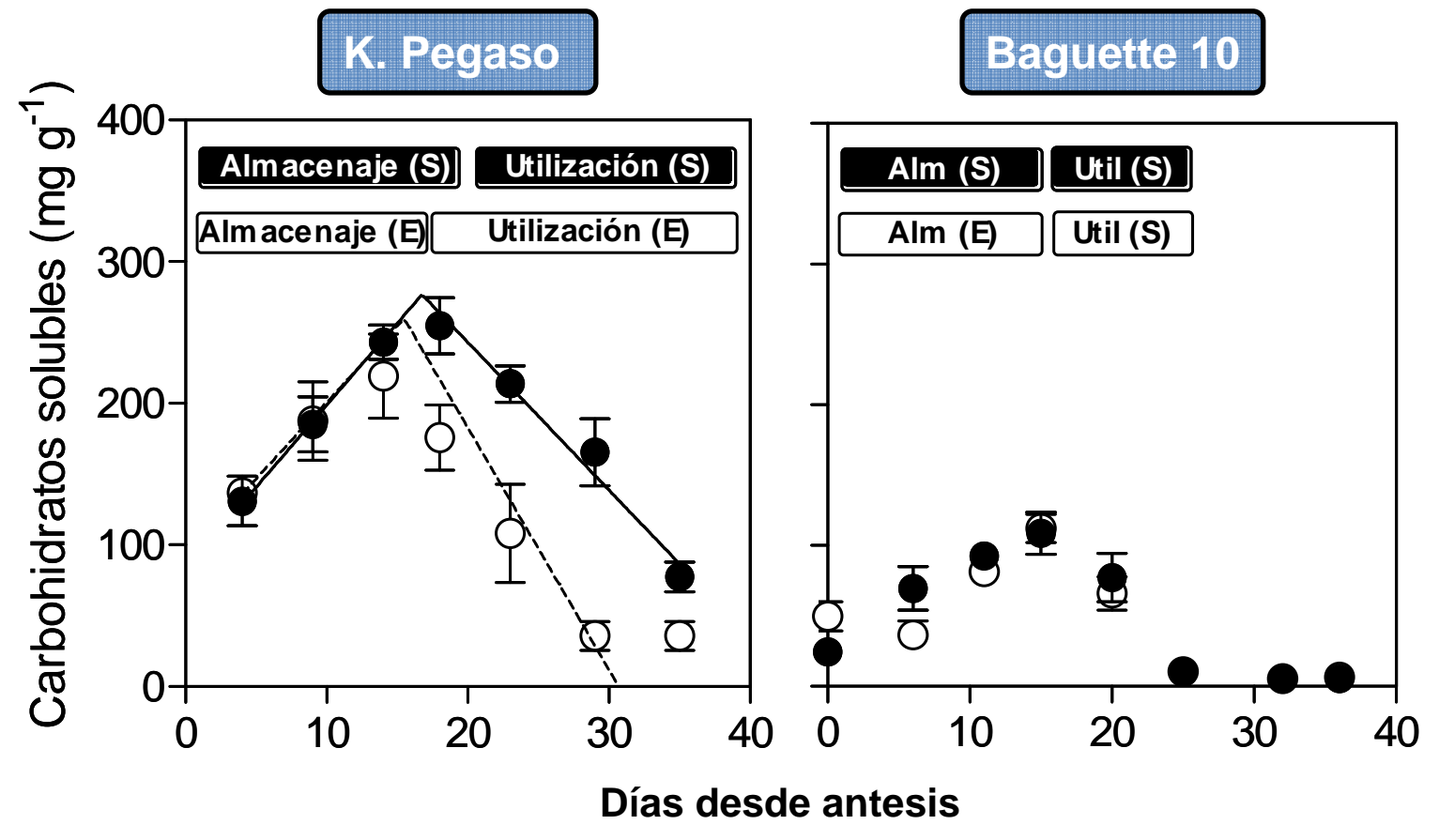












- 1) Determinar como las enfermedades foliares afectan el consumo de CSA.
- 2) Evaluar al contenido de CSA como estrategia para aumentar la tolerancia a enfermedades foliares.

Estudios futuros





Fotosíntesis





Reservas



Espigas

Cultivo Enfermo







Reservas

Espigas



2010 Cebada

2011

RIL'S



2010





Muchas Gracias!













Ing. Agr. Juan Annone